



Численное исследование взаимодействия скачка уплотнения с неустойчивым сверхзвуковым пограничным слоем

Д.В. Хотяновский, А.Н. Кудрявцев, А.А. Шершнев

Институт теоретической и прикладной механики

им. С.А. Христиановича СО РАН



Содержание

- Введение и мотивация.
- Постановка задачи.
- Численные методики.
- Результаты:
 - линейная теория устойчивости;
 - прямое численное моделирование переходного пограничного слоя на плоской пластине, влияние начальной амплитуды возмущений;
 - моделирование взаимодействие косопадающего скачка с переходным пограничным слоем при возбуждении во входном сечении волн линейной теории;
 - моделирование взаимодействие косопадающего скачка с переходным пограничным слоем при наличии на пластине одиночной шероховатости.
 - моделирование отрывного пограничного слоя на рампе сжатия с различными возмущениями.

Введение и мотивация

- Взаимодействие ударной волны с пограничным слоем (SWBLI) – сложное явление, происходящее в течениях около различных частей трансзвуковых и сверхзвуковых летательных аппаратов, лопаток компрессоров и элементов воздухозаборников ВРД.
- Большой интерес вызывают нестационарные явления, сопровождающие SWBLI и приводящие к значительным низкочастотным пульсациям отрывной зоны

Постановка задачи

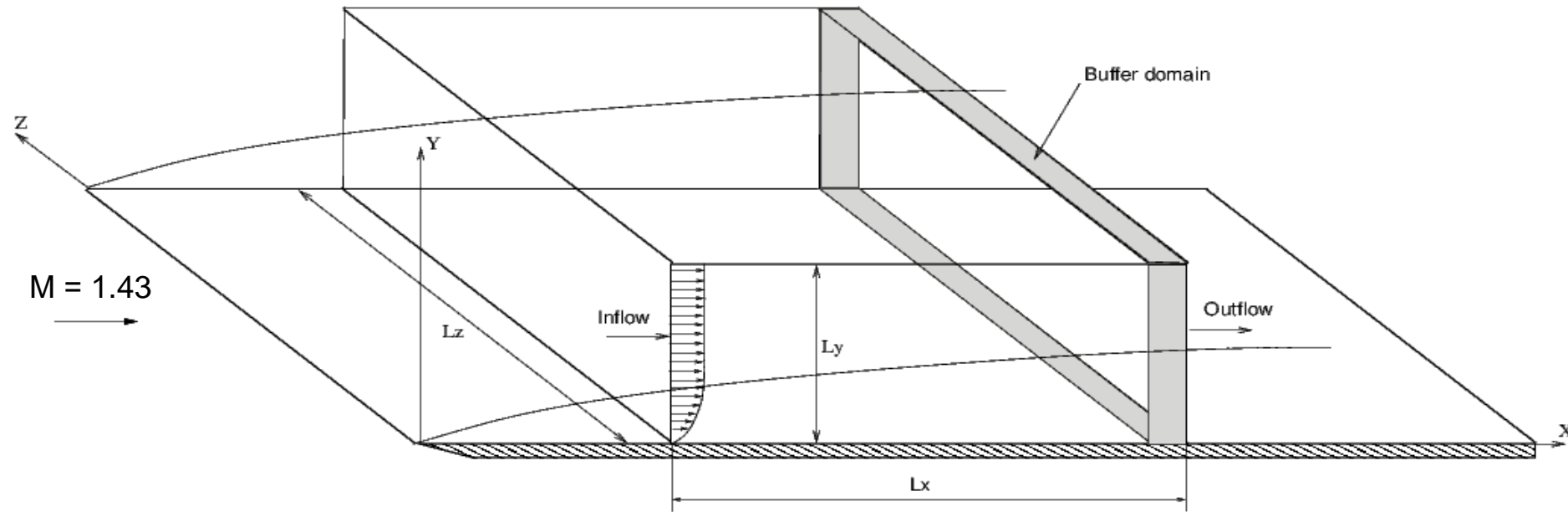


Схема вычислительной области при моделировании пограничного слоя на пластине

Численные методики

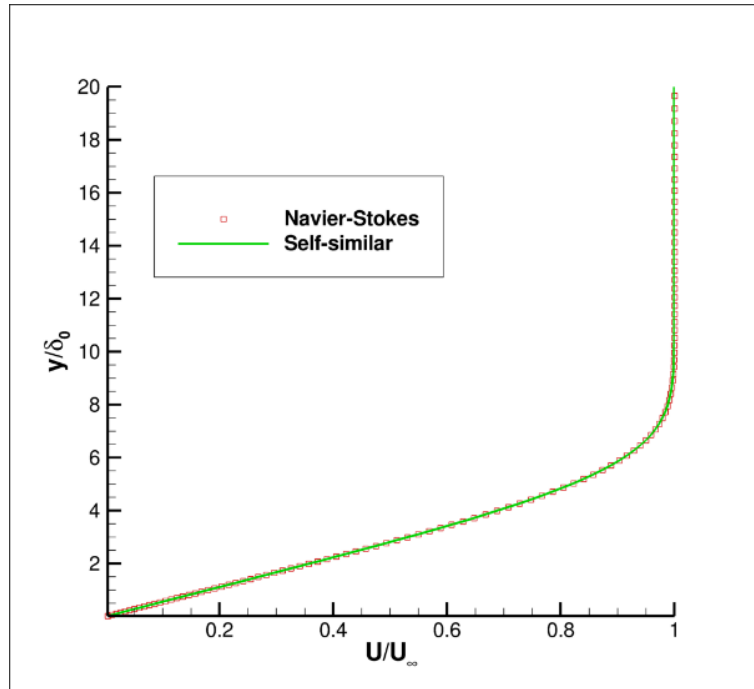
- Код CFS3D для решения сжимаемых нестационарных уравнений Навье–Стокса:
 - конечно-разностная WENO-5 схема для вычисления конвективных потоков или MUSCL TVD схема 4-го порядка;
 - центральная дискретизация диффузионных членов;
 - явная схема Рунге–Кутты 2-го и 4-го порядков для интегрирования по времени;
 - распараллеливание MPI через декомпозицию расчетной области.
- Код HyCFS — новый код для гибридных суперкомпьютеров:
 - распараллеливание Nvidia CUDA для использования GPU;
 - ниточная параллелизация OpenMP в пределах общей памяти узла;
 - сообщения MPI между узлами.

Вычислительная область и граничные условия

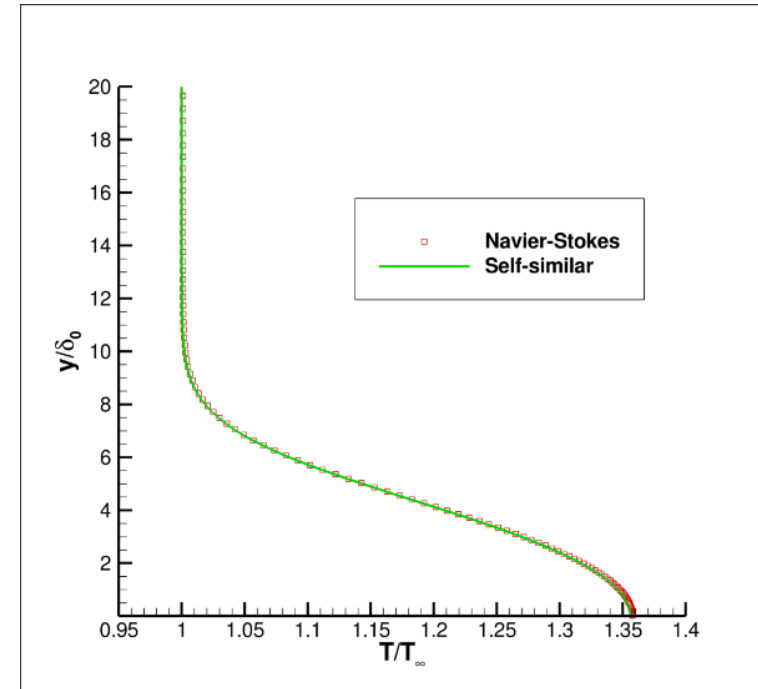
- Граничные условия:
 - автомодельные профили пограничного слоя на входной границе;
 - для возбуждения неустойчивости на автомодельный профиль накладываются возмущения заданной амплитуды в виде собственных функций линейной теории;
 - мягкие неотражающие условия на выходной и верхней границе;
 - периодические условия по размаху;
 - поверхность пластины: условия прилипания, нулевой градиент давления, заданная температура стенки T_w ;
 - на части верхней границы задаются условия за косым скачком с заданным углом;
 - одиночная шероховатость на поверхности пластины.
- Вычислительная область: $L_x = 4000 \delta$, $L_y = 82 \delta$, $L_z = 120 \delta$.
- Структурированная сетка $N_x = 2304$, $N_y = 300$, $N_z = 96$, (75 млн.).
- Вычисления проводятся на 64 ядрах ЦПУ кодом CFS3D или 8 видеокартах Nvidia кодом NuCFS.

Ламинарный пограничный слой. Профили во входном сечении

$M = 1,45$, $Re_{\delta_0} = 700$, $Re_{x_0} = 0,49 \cdot 10^6$, $T_w / T_\infty = 1,356$. ($\delta_{99} = 5,7$).



Продольная компонента скорости

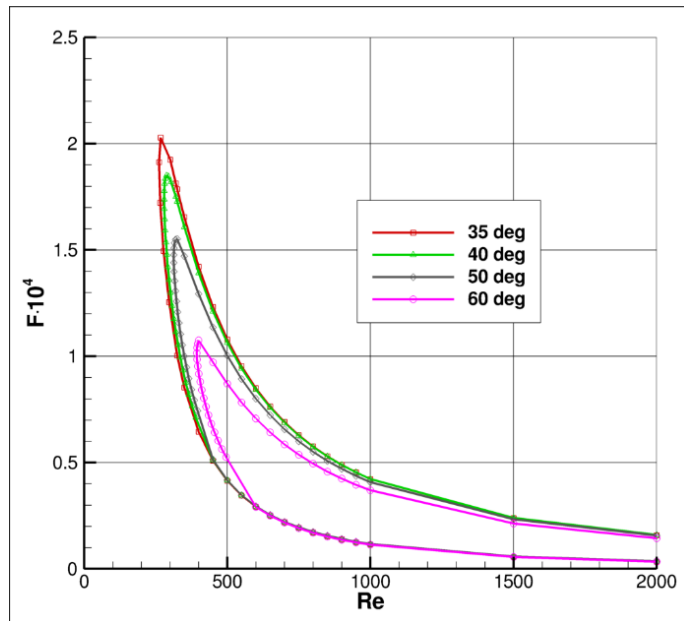


Температура

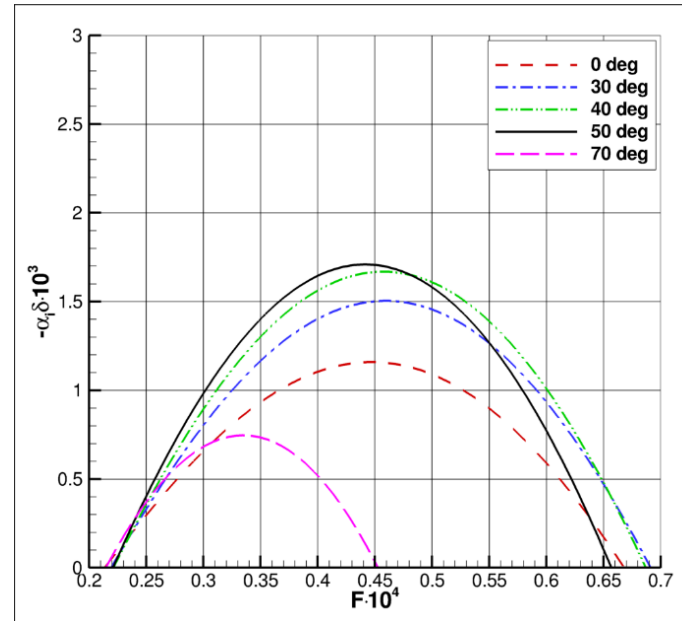
Сплошные кривые соответствуют автомодельному решению

Линейная теория устойчивости для трехмерных возмущений.

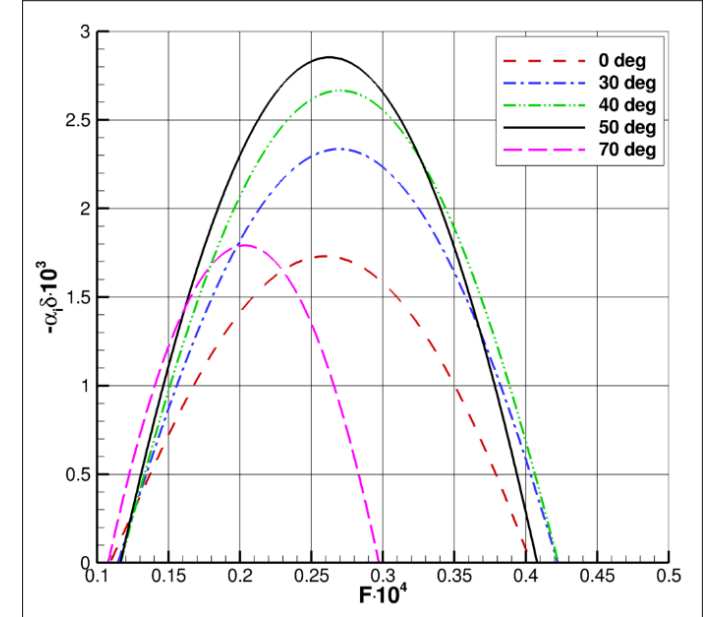
$M = 1,45, T_w / T_e = 1,356$



Кривые нейтральной устойчивости для различных углов волнового вектора χ

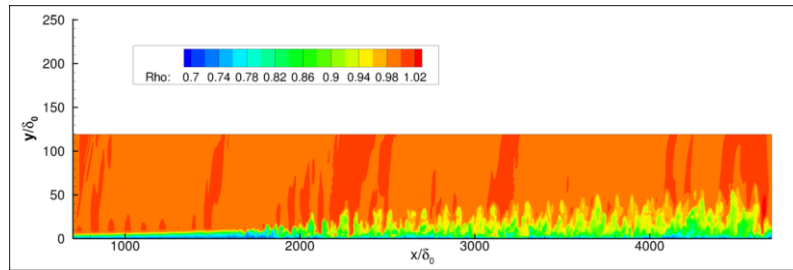


Инкременты нарастания для различных углов χ при $Re = 700$

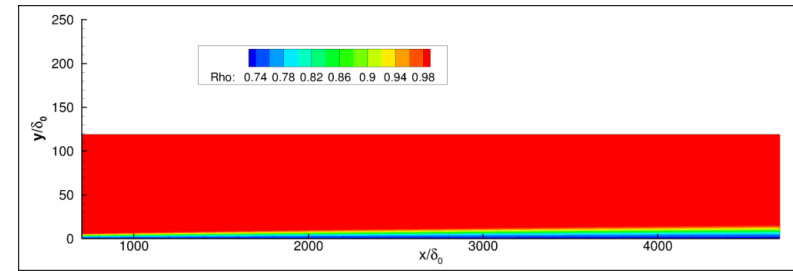


Инкременты нарастания для различных углов χ при $Re = 1000$

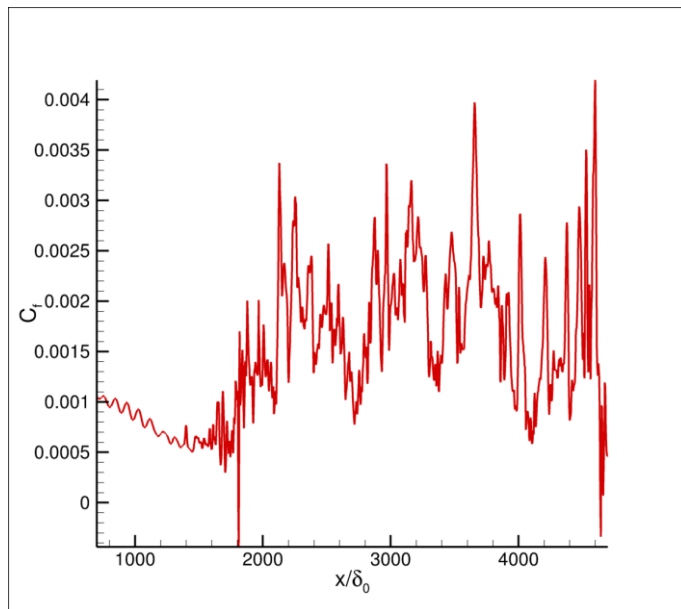
Влияние начальной амплитуды возмущений. Пограничный слой на пластине без скачка.



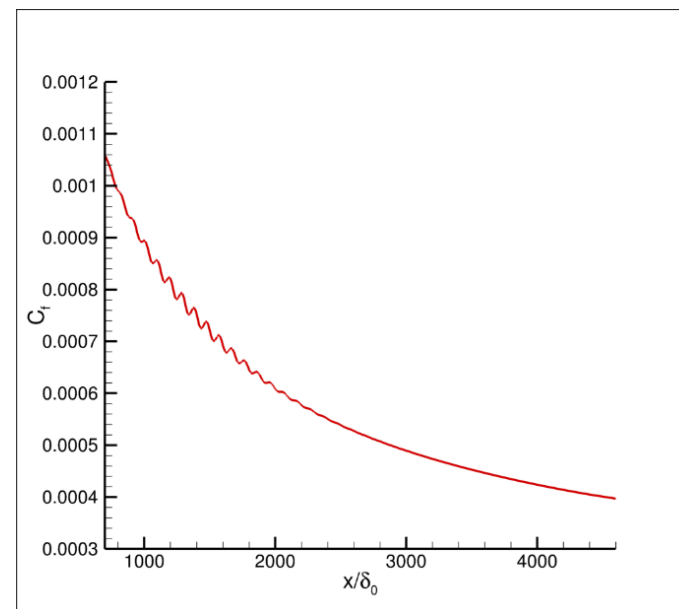
Мгновенное поле плотности. $A_0 = 0,01$



Мгновенное поле плотности. $A_0 = 0,001$



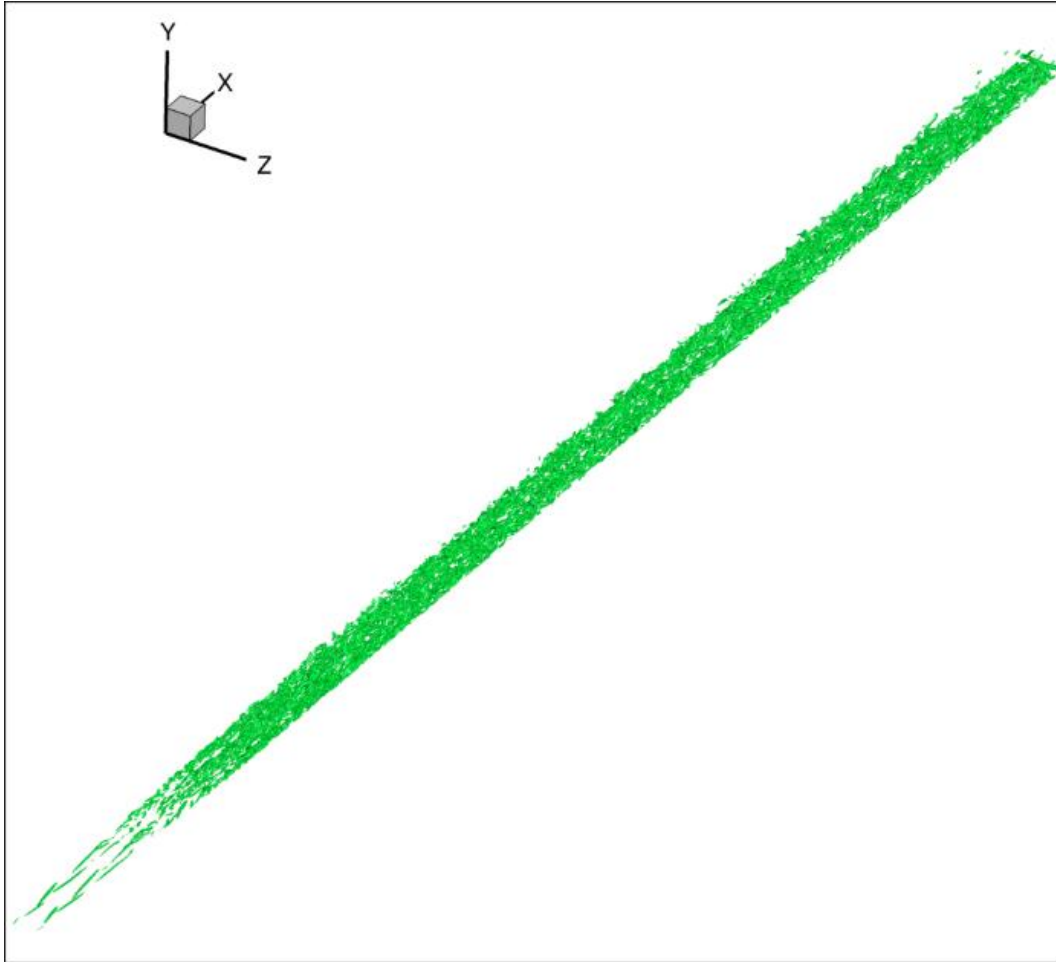
Коэффициент трения, $A_0 = 0,01$



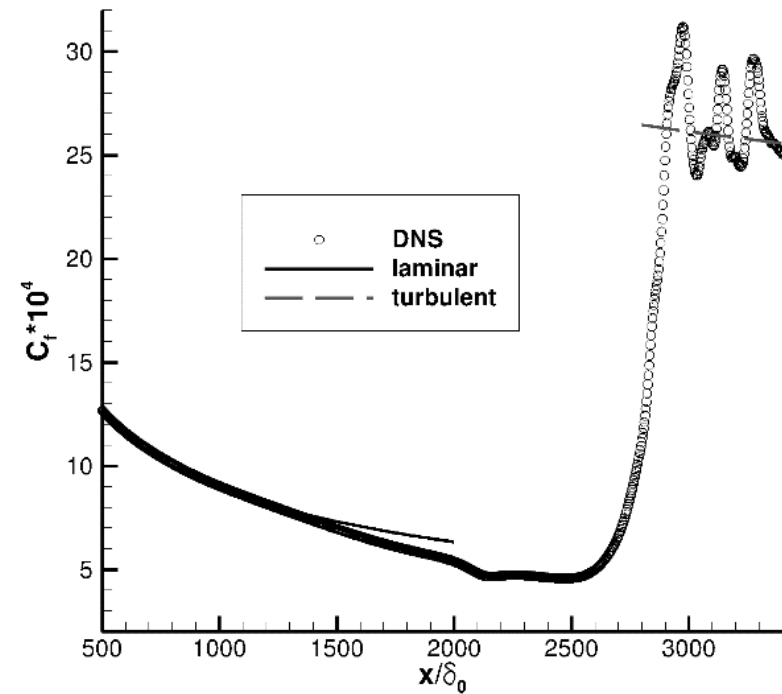
Коэффициент трения, $A_0 = 0,001$

Переход к турбулентности на плоской пластине без скачка.

$M=1,45$, $Re=700$, $Re_{x0} = 0,49 \cdot 10^6$, $T_w/T_e=1,356$, $A0 = 0,01$



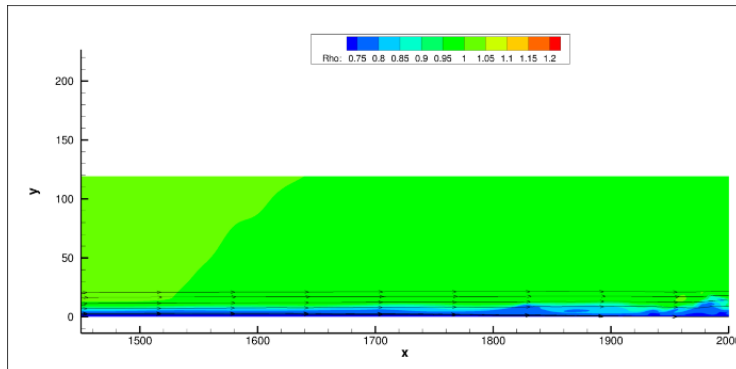
Поверхность Q критерия



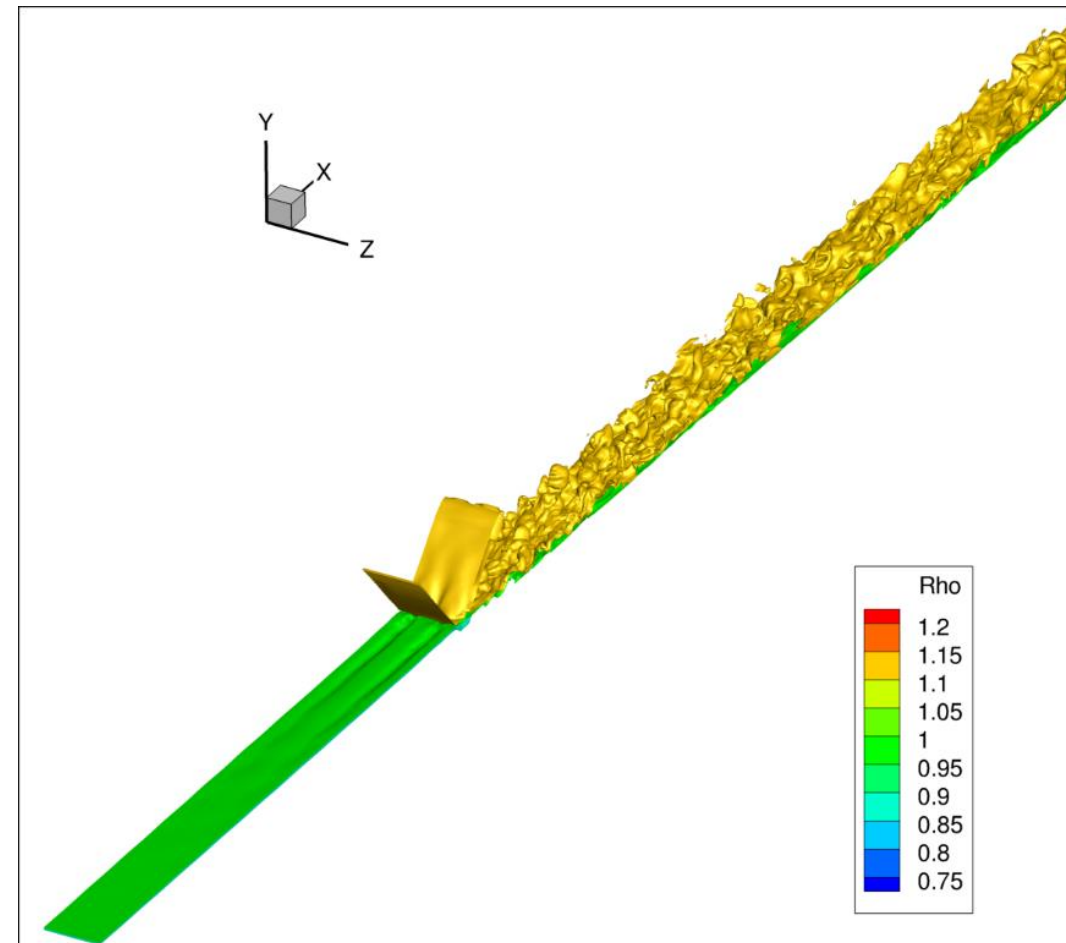
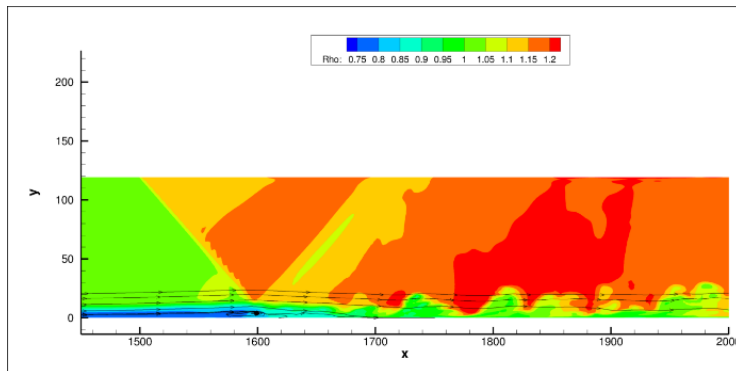
Изменение осредненного коэффициента трения вдоль поверхности пластины

Взаимодействие со скачком от клина с углом 3° , угол скачка $43,7^\circ$.

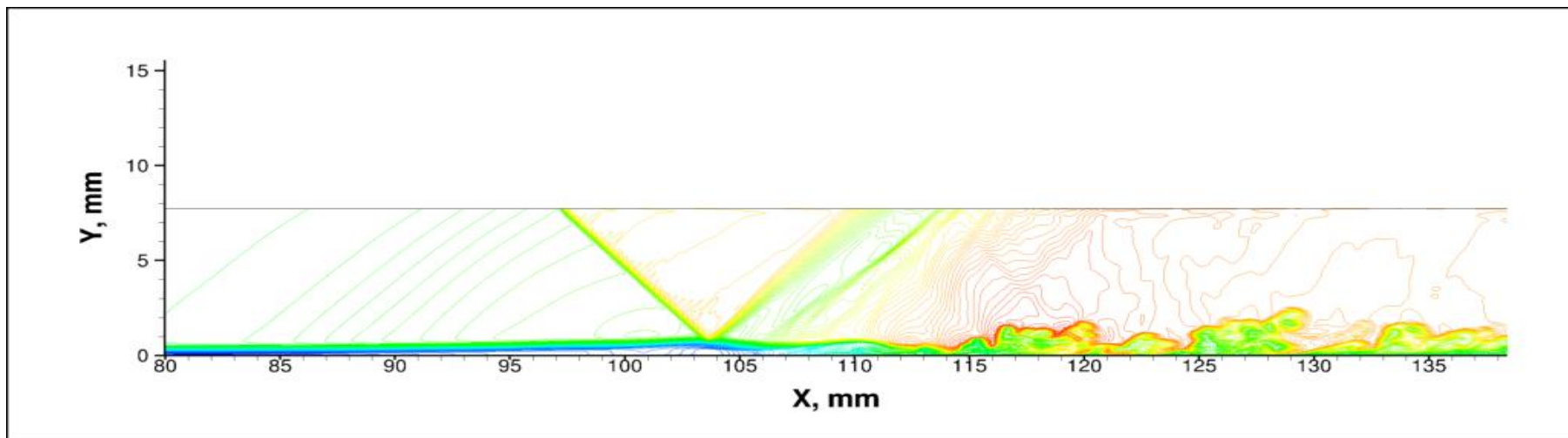
$M = 1,45$, $Re = 700$, $Re_{x_0} = 0,49 \cdot 10^6$, $T_w / T_\infty = 1,356$, $A_0 = 0,001$



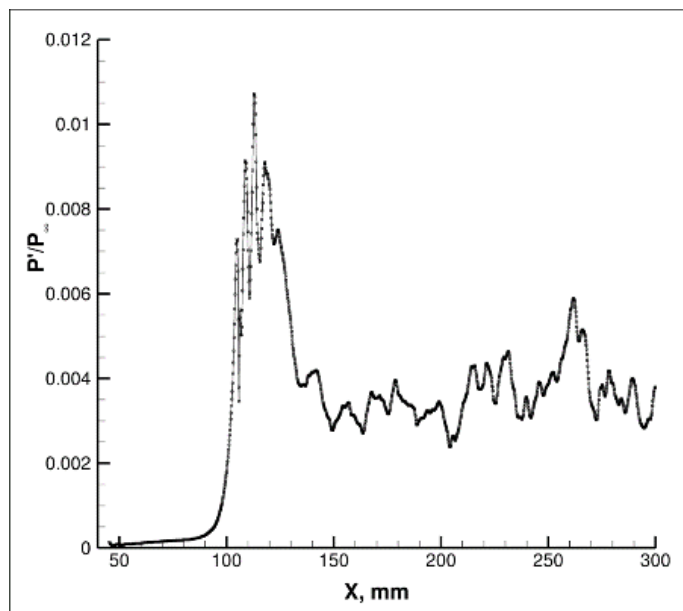
Возмущенный пограничный слой
без скачка



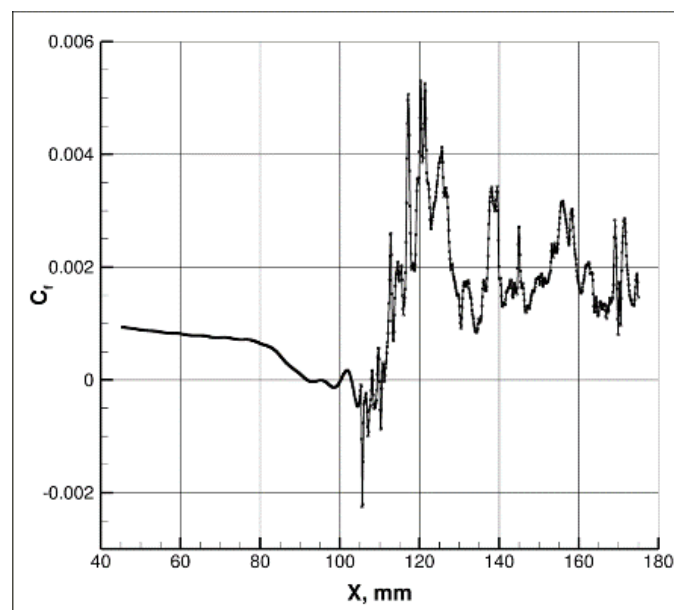
Взаимодействие с падающим скачком приводит к ламинарно-турбулентному переходу непосредственно за областью взаимодействия



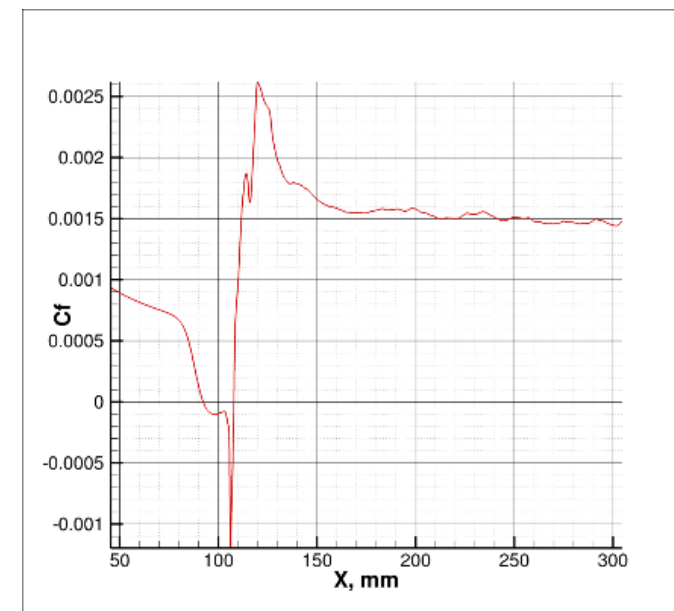
Изолинии плотности



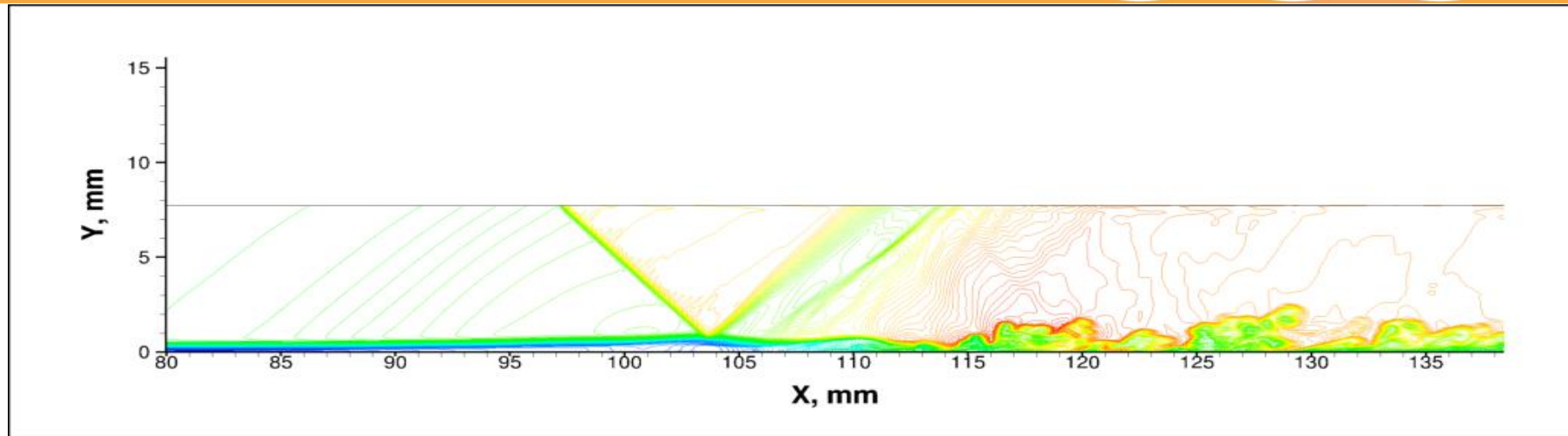
Распределение давления



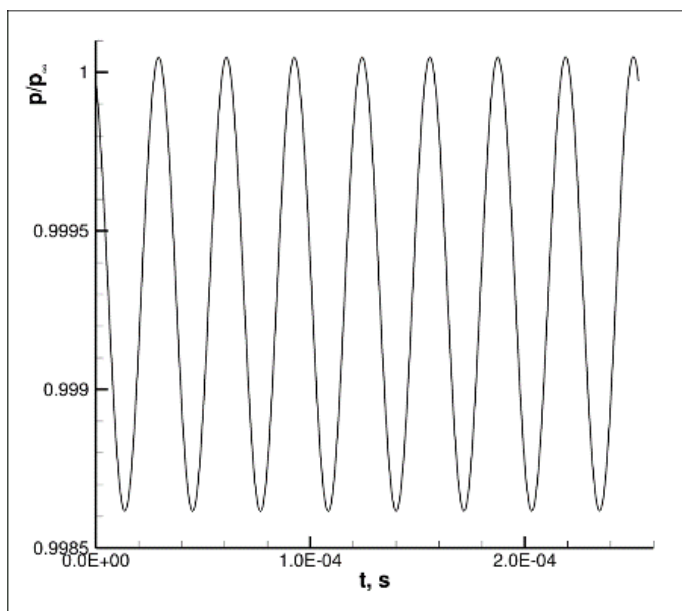
Коэффициент трения



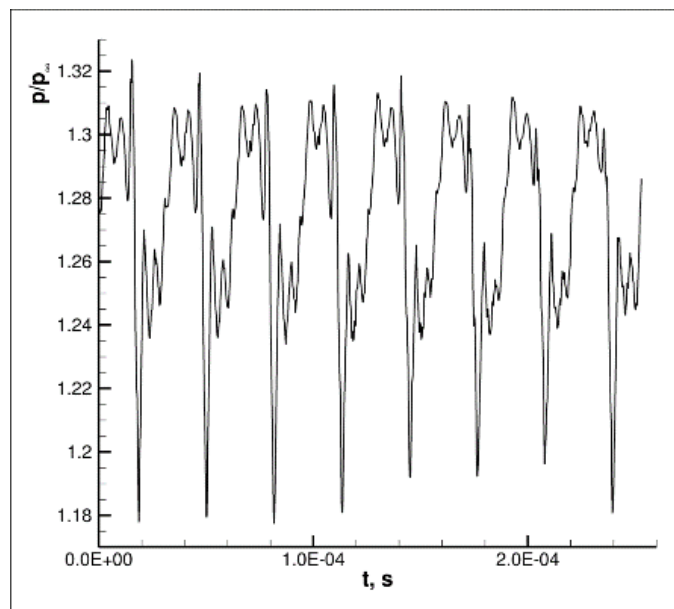
Осредненный коэффициент трения



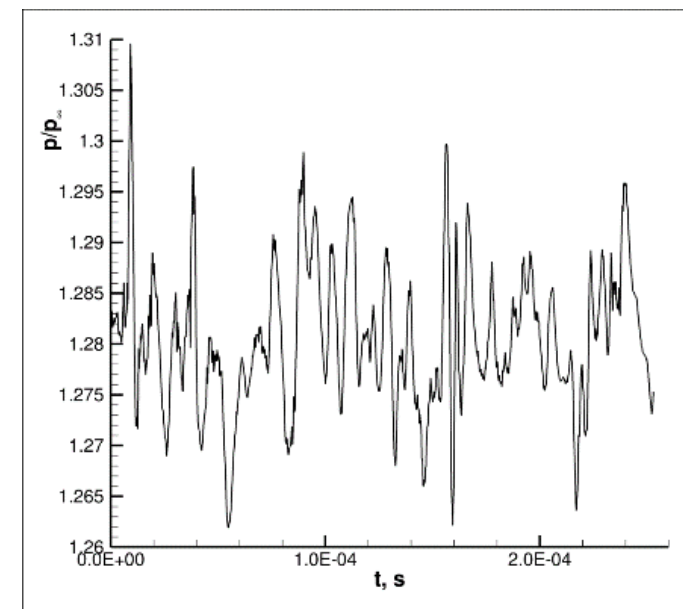
Изолинии плотности



$x = 35 \text{ мм}$



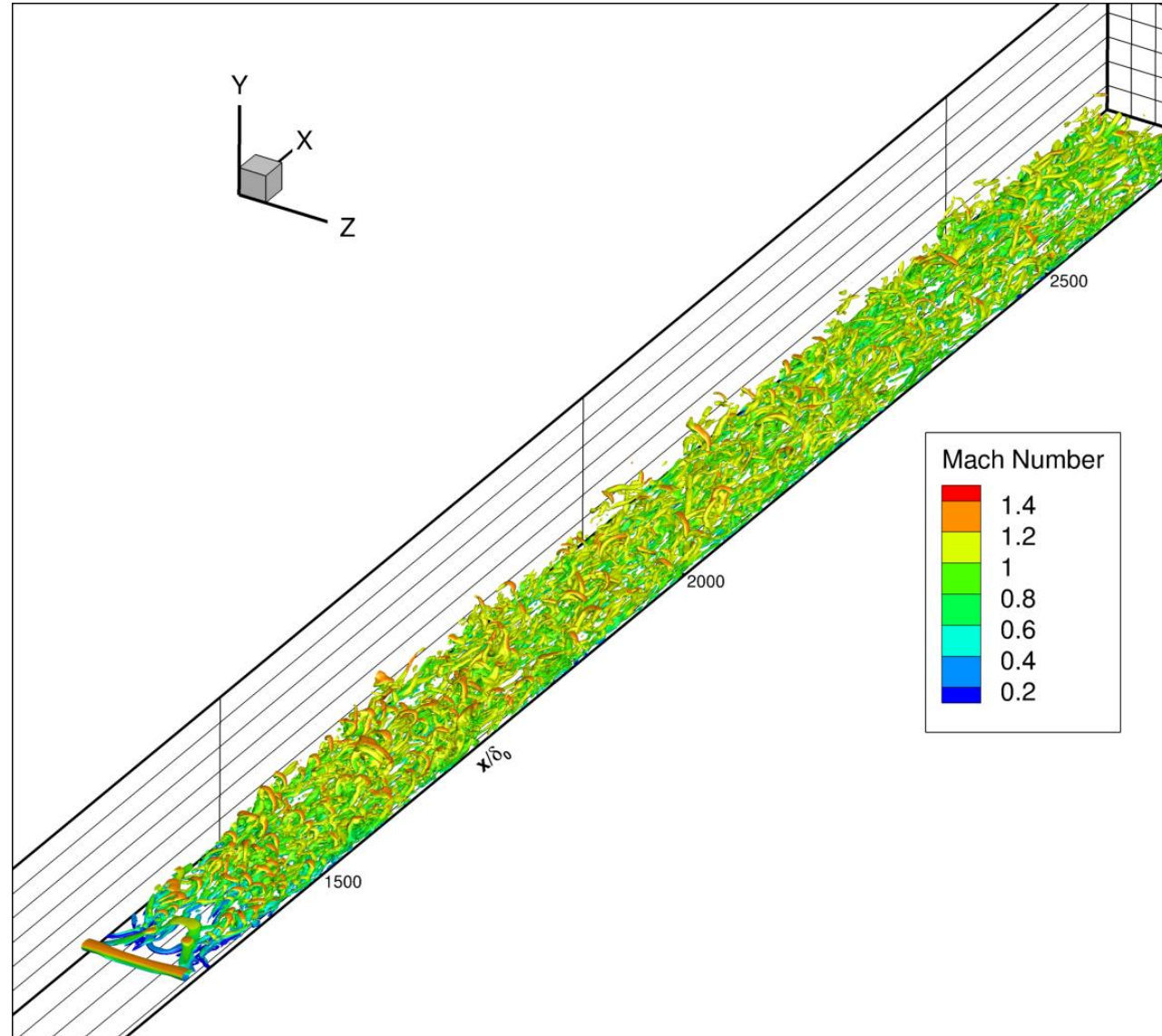
$x = 113 \text{ мм}$



$x = 178 \text{ мм}$

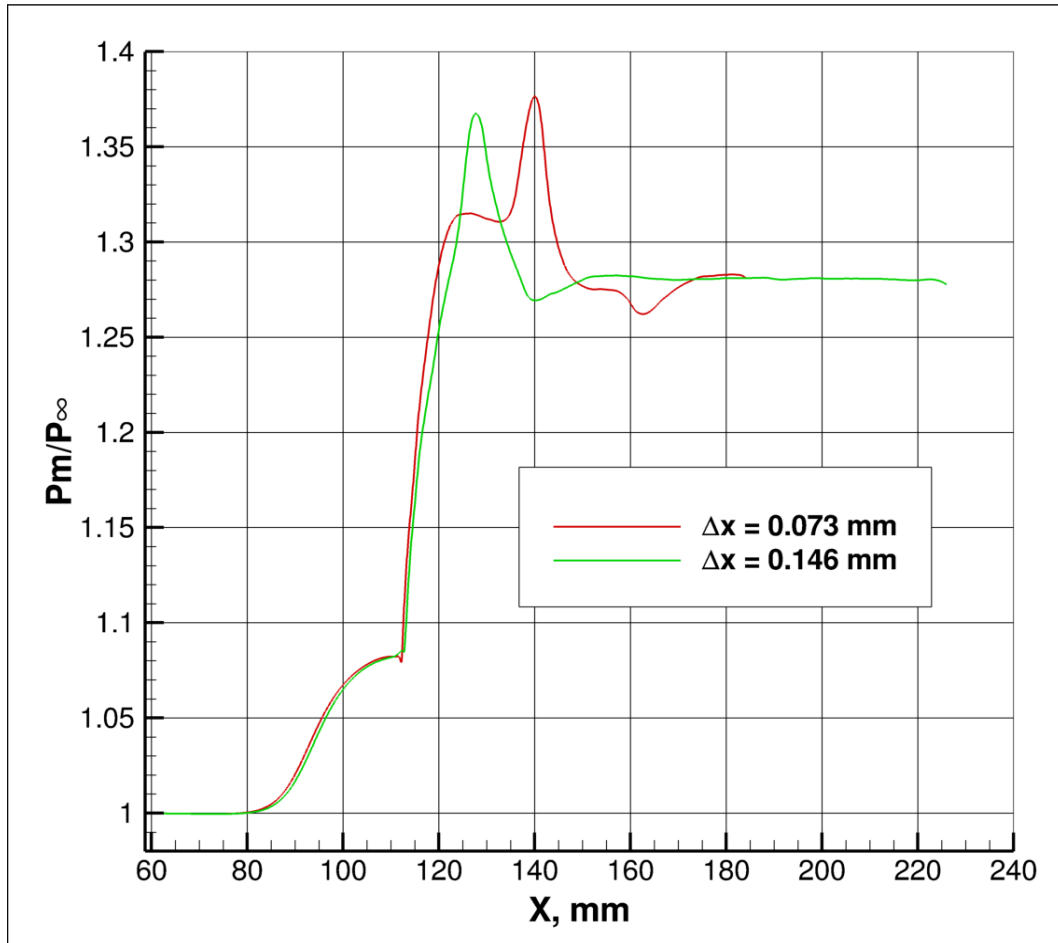
Осциллограммы давления

$M = 1,43,$
 $Re = 700,$
 $T_w / T_\infty = 1,346,$
 $A_0 = 0,001$

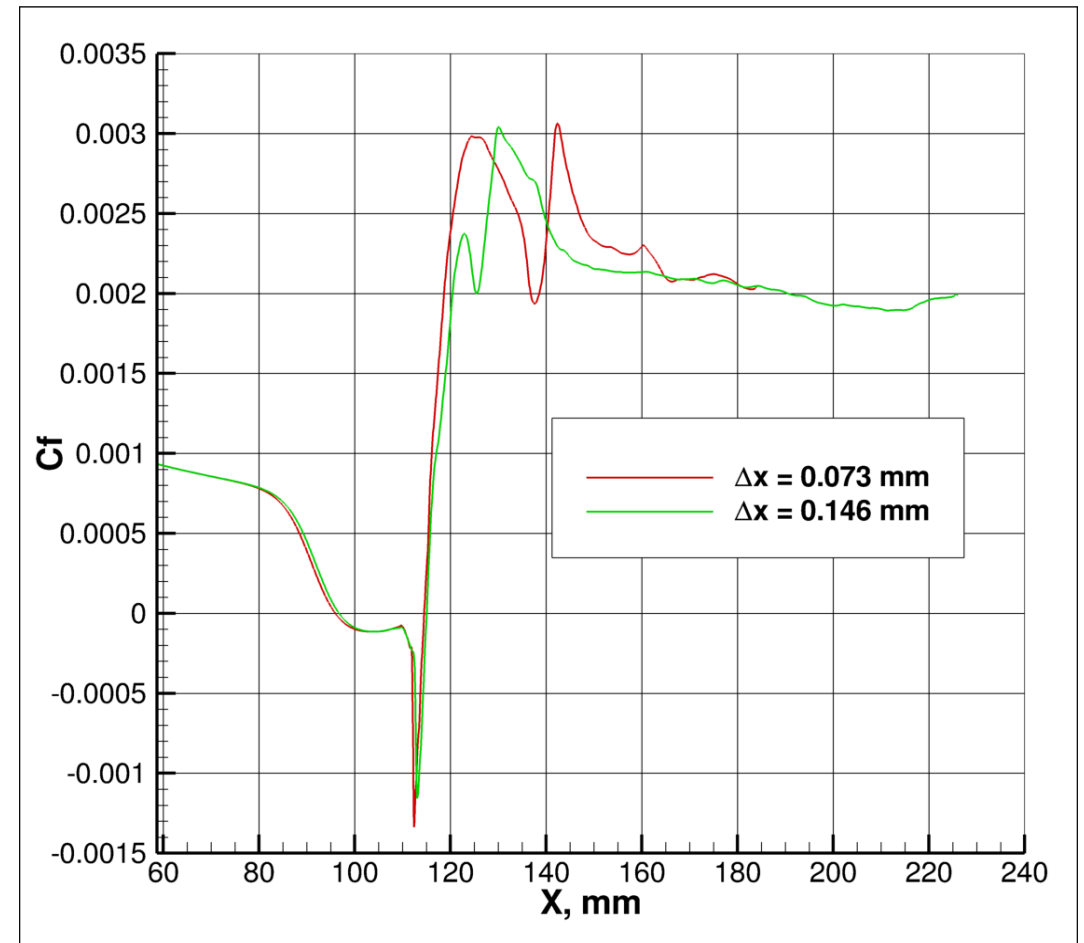


Изоповерхность Q критерия и число Маха

Распределения осредненных величин вдоль поверхности пластины



Давление

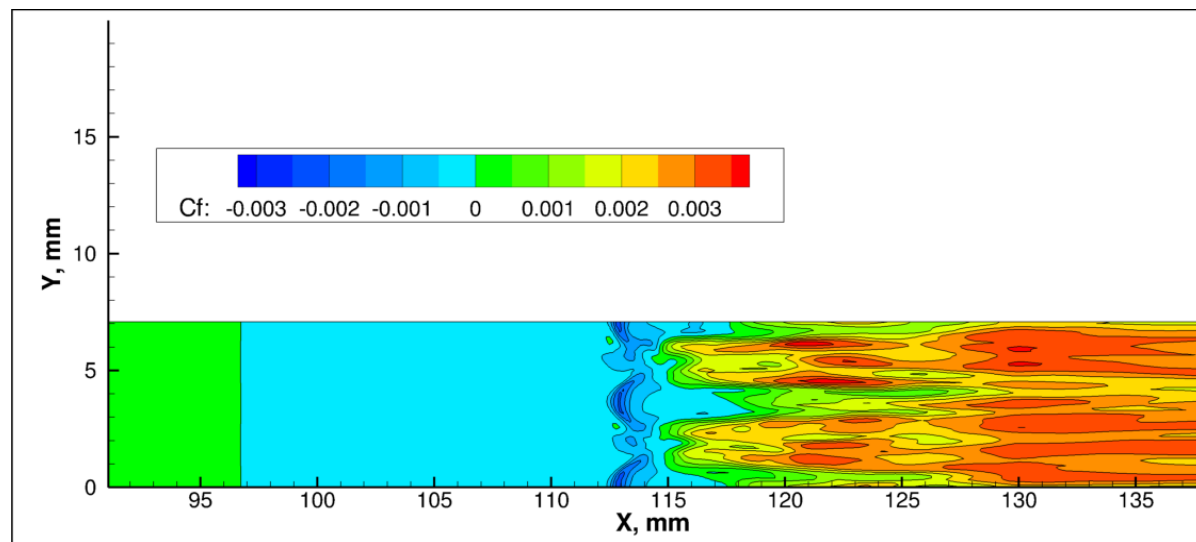


Коэффициент трения

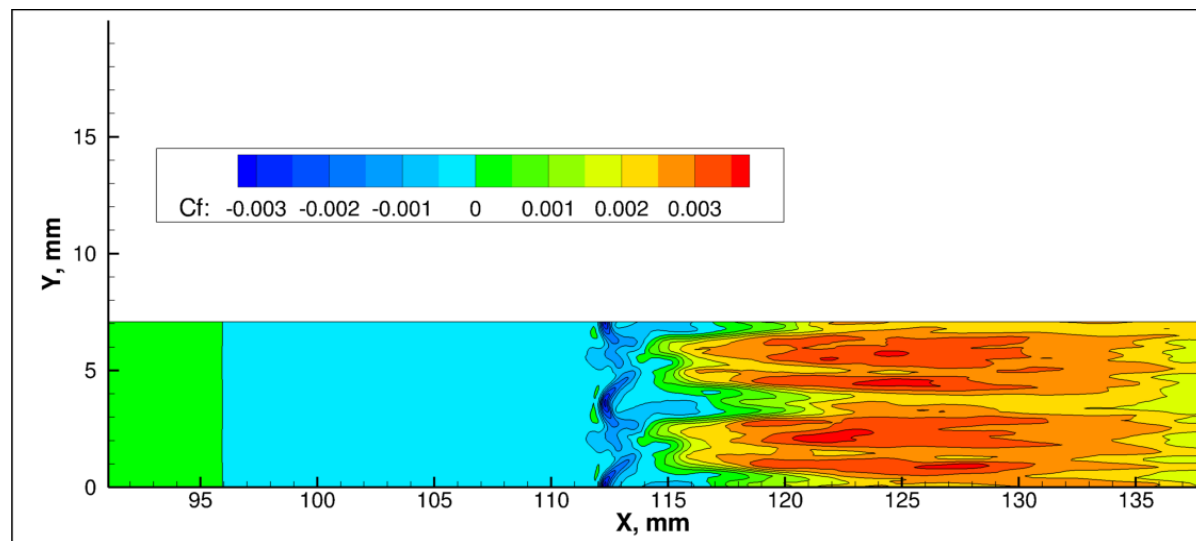


Распределение по поверхности осредненного C_f

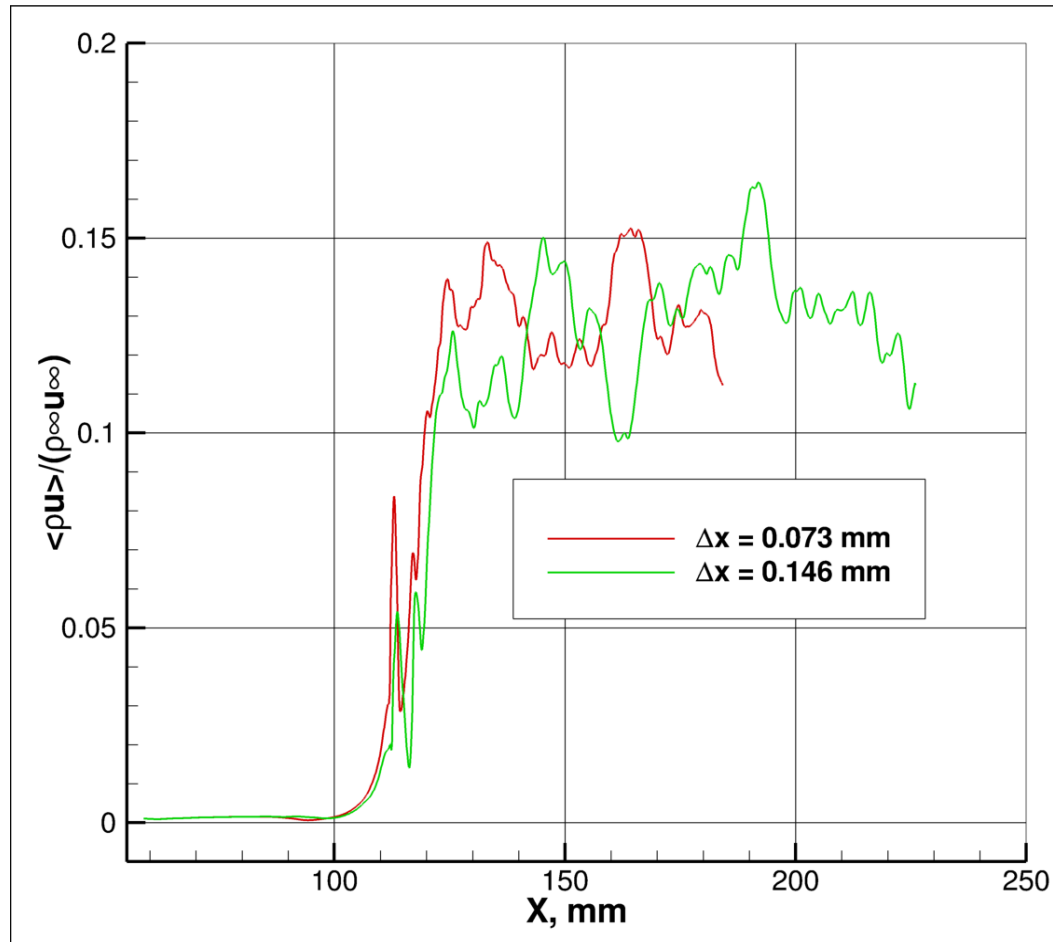
Сетка
 $\Delta x = 0,146$ мм



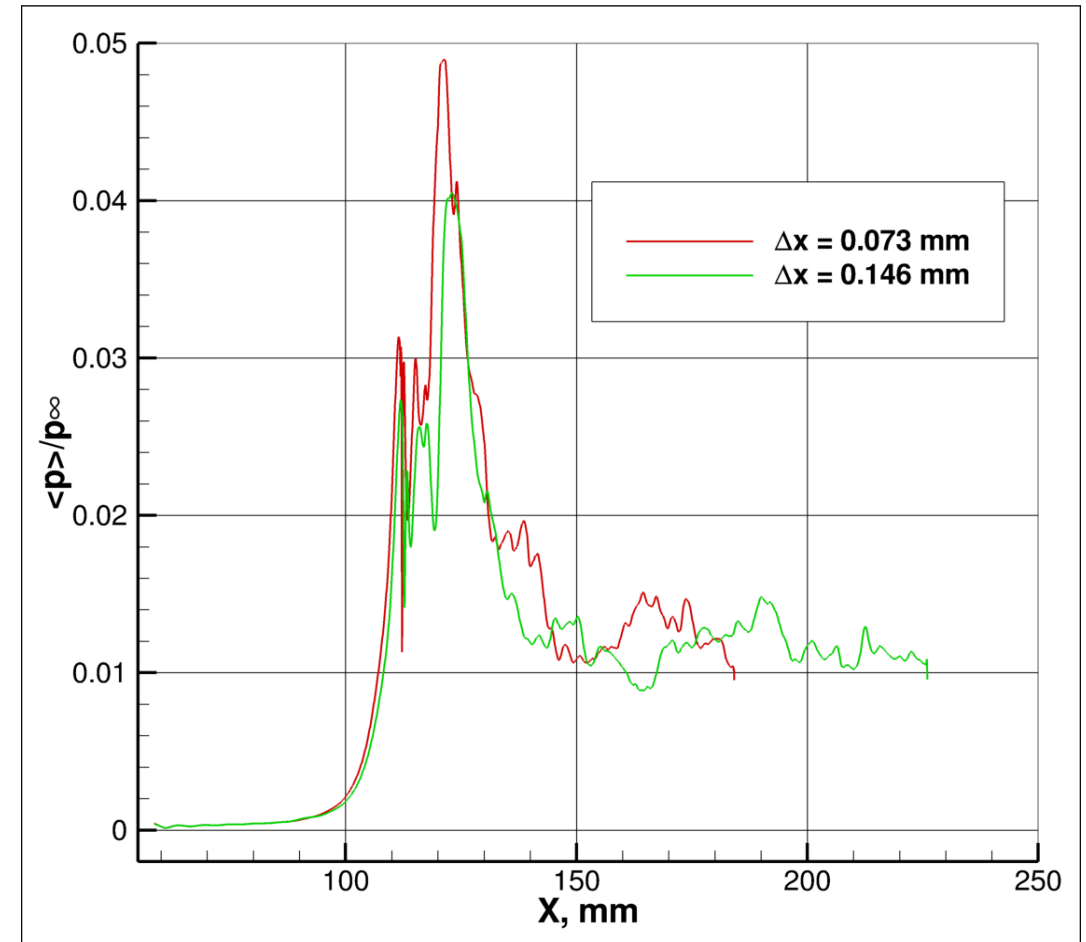
Сетка
 $\Delta x = 0,073$ мм



Среднеквадратичные пульсации вдоль линии $z = L_z/2$
на высоте $y = 0.14$ мм



Пульсации массового расхода



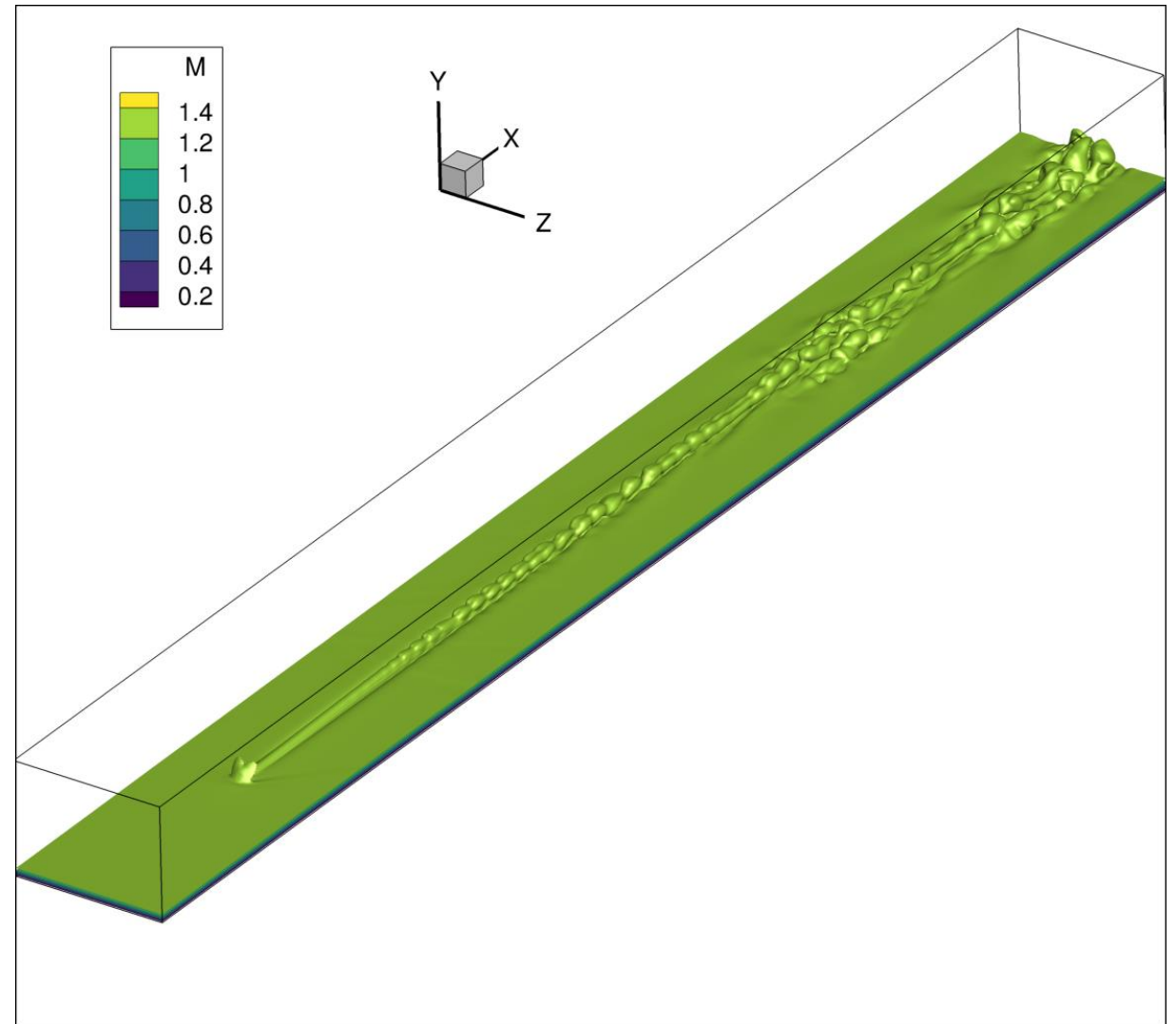
Пульсации давления

Численное моделирование течения в пограничном слое при наличии одиночной шероховатости на поверхности пластины

Возмущения во входном сечении не вводятся.

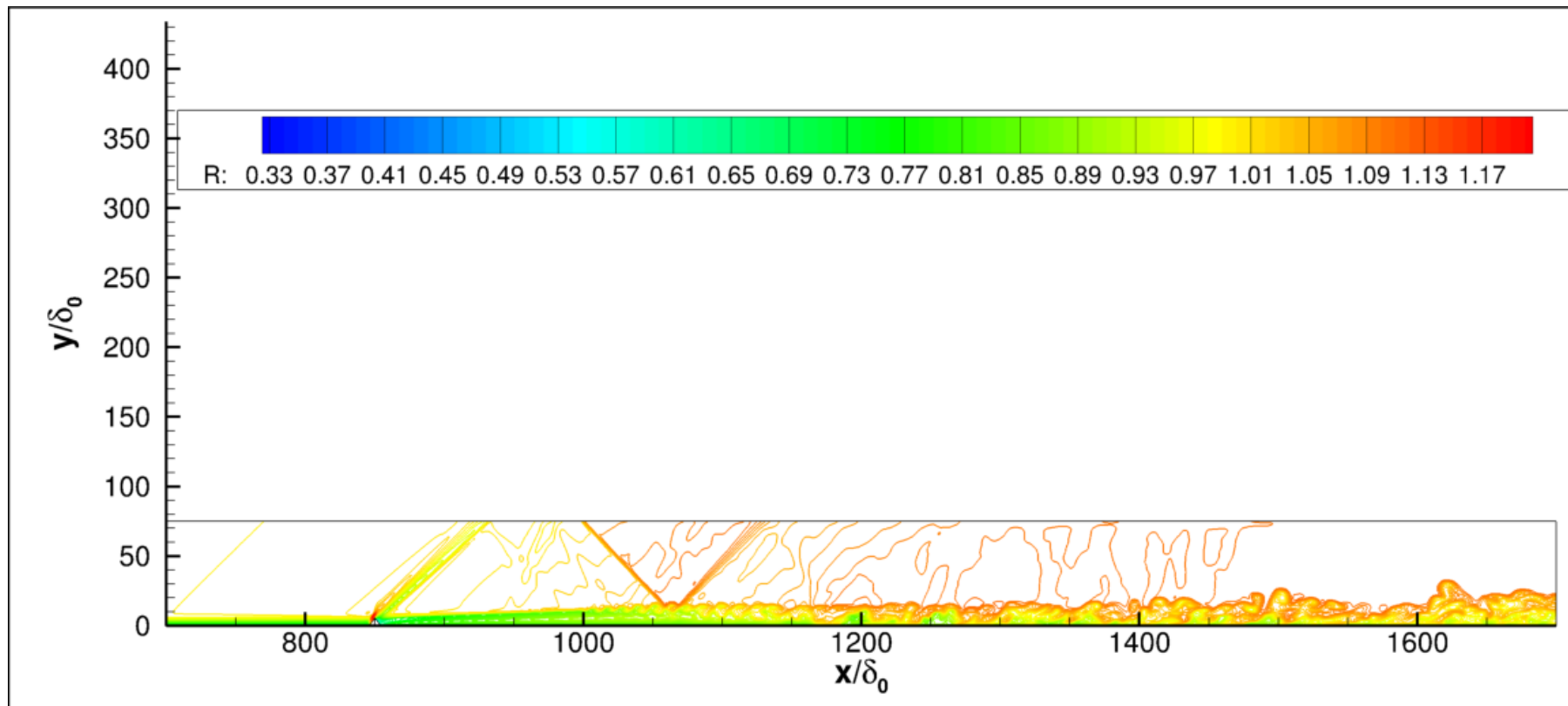
На некотором расстоянии от входной границы размещается одиночный элемент шероховатости в виде $\frac{h}{R}$, где r – расстояние от центра элемента в плоскости (x, z) .

Высота h и радиус R элемента варьируются.



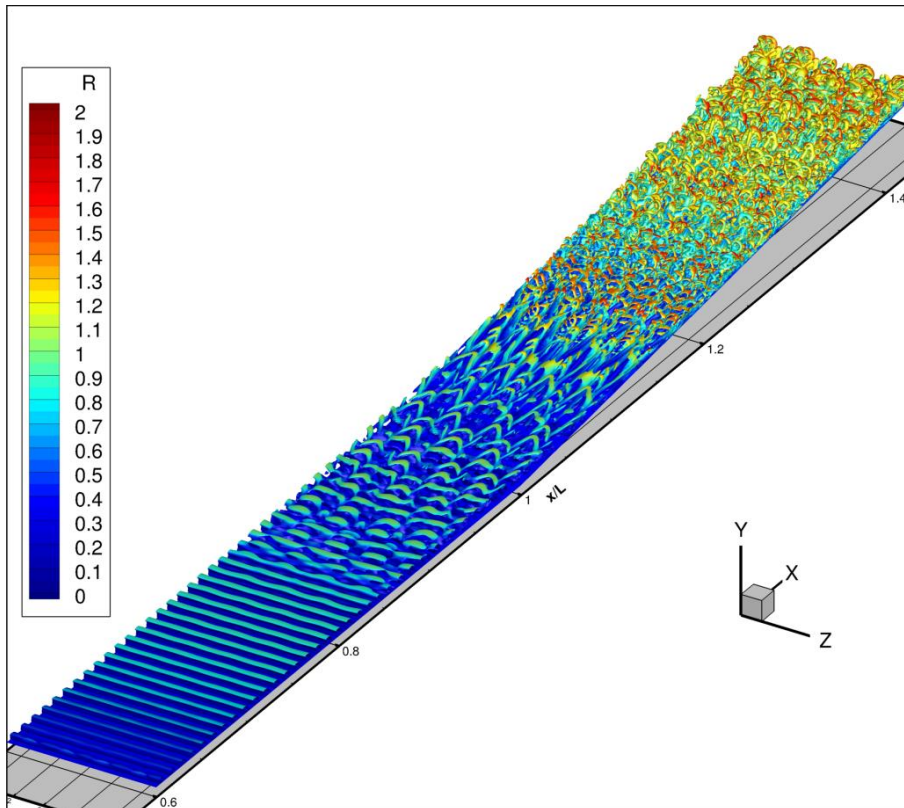
SWBLI и ламинарно-турбулентный переход в пограничном слое на пластине с одиночным элементом шероховатости

$M = 1,45$, $Re = 700$, теплоизолированная стенка,
элемент шероховатости высотой $h/\delta_0 = 4$ располагается при $x/\delta_0 = 850$

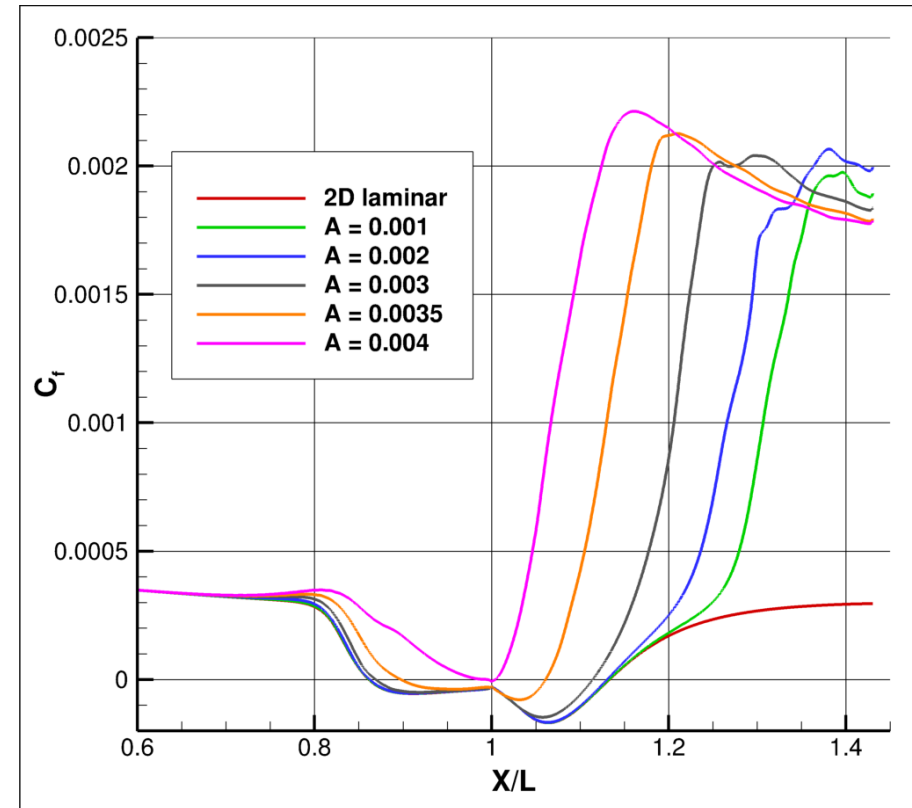


Изолинии плотности в продольном сечении

Моделируется течение над рампой сжатия с углом $5,5^\circ$. $M = 5,373$, $Re = 5,67 \cdot 10^6$, $Re_1 = 17,93 \cdot 10^6 \text{ м}^{-1}$, $T_\infty = 74,2 \text{ К}$, $T_w = 300 \text{ К}$. На входе возбуждались двумерная ($\chi=0$) волна второй моды и трехмерная ($\chi=\pm 66^\circ$) волна первой моды возмущений линейной устойчивости. При ламинарном течении перед рампой сжатия происходит отрыв потока с образованием рециркуляционной зоны. Проведено исследование влияния возмущенного состояния на входной границе на возбуждение наиболее опасных неустойчивых возмущений пограничного слоя, их дальнейшую эволюцию и реализацию ламинарно-турбулентного перехода.

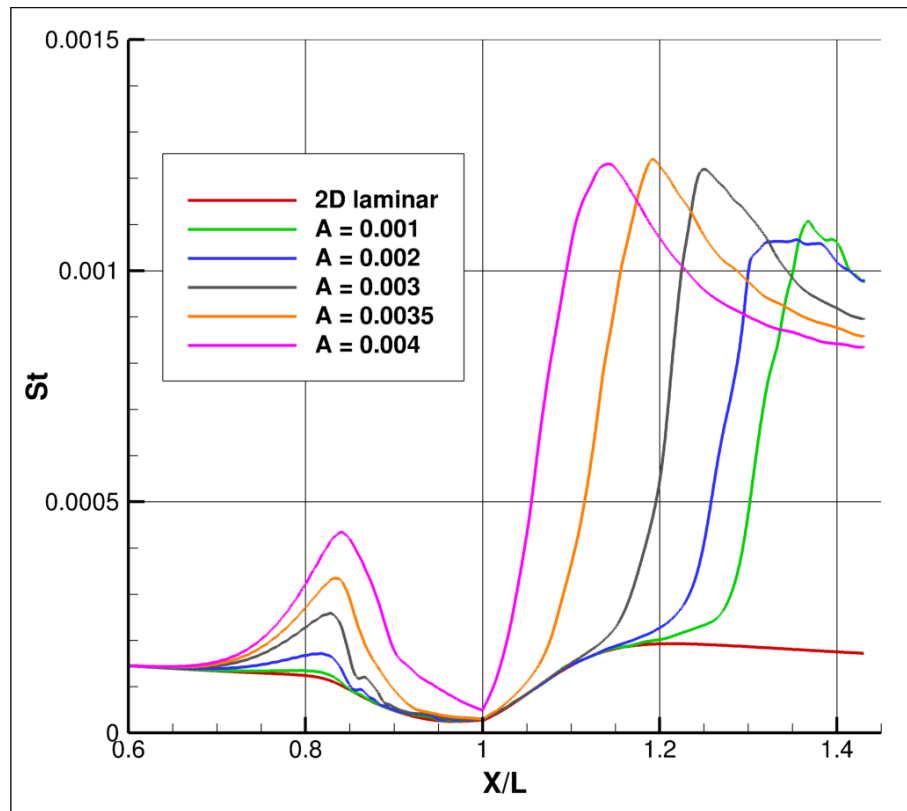


Изоповерхности Q критерия и уровни плотности.
Расчет кодом NuCFS с 40 млн ячеек. $A = 0.0035$

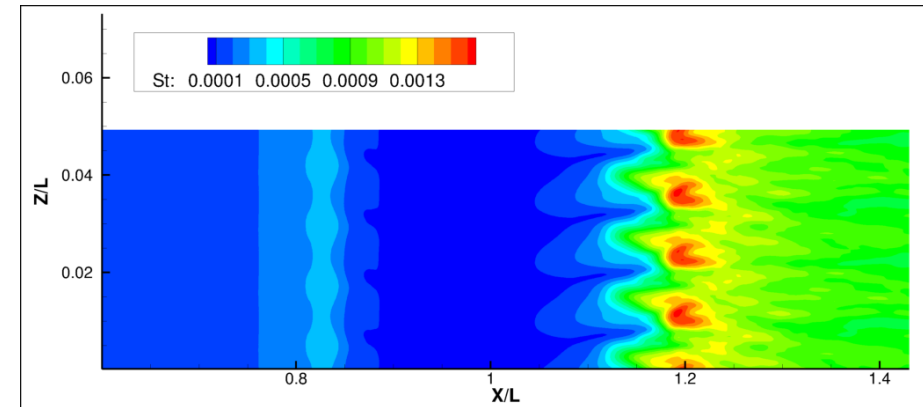


Распределения осредненных коэффициентов трения при различных амплитудах возмущения

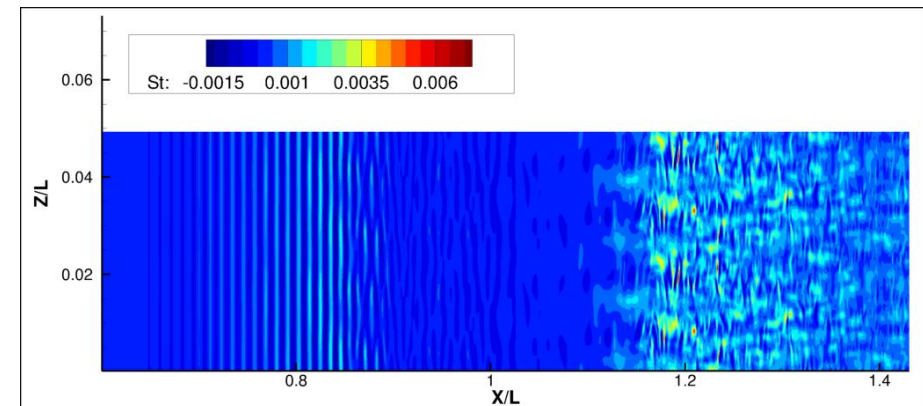
С помощью прямого численного моделирования получены данные по мгновенным и усредненным значениям тепловых потоков и поверхностного трения в переходном пограничном слое на рампе сжатия.



Осредненные по времени и координате Z тепловые потоки при различных амплитудах возмущения.



Распределение осредненного по времени теплового потока при $A=0,0035$



Распределение мгновенного теплового потока при $A=0,0035$

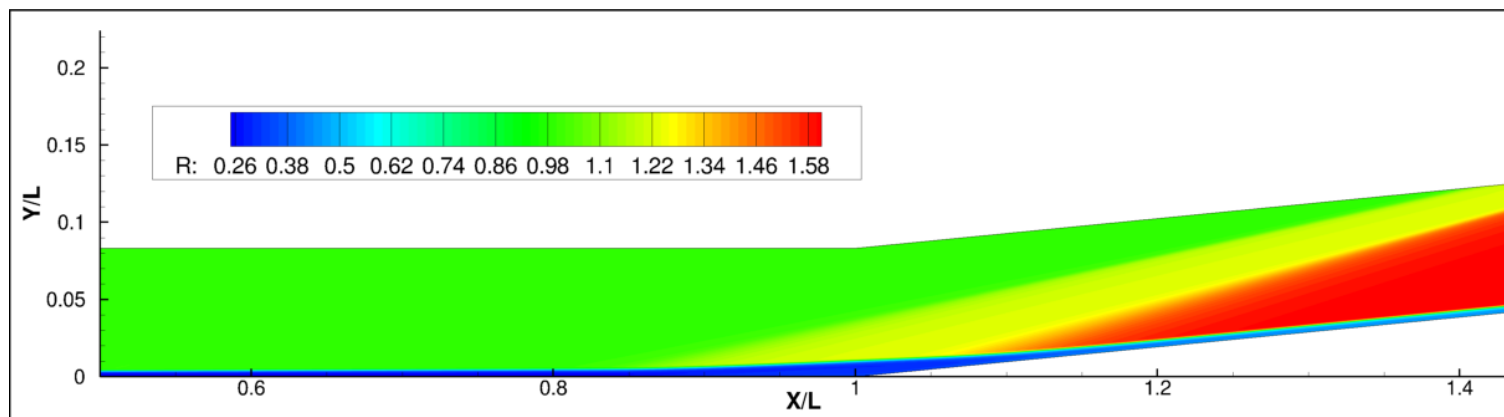
Проведено исследование влияния шероховатости поверхности на характеристики пограничного слоя на рампе сжатия.

Рассмотрена регулярная периодическая и случайно-распределенная шероховатости. Размер элементов шероховатости h варьируется от $h = 2 \delta$ до $h = 10 \delta$, где δ - блазиусовская толщина пограничного слоя во входном сечении. $\delta^{99} = 13,5 \delta$.

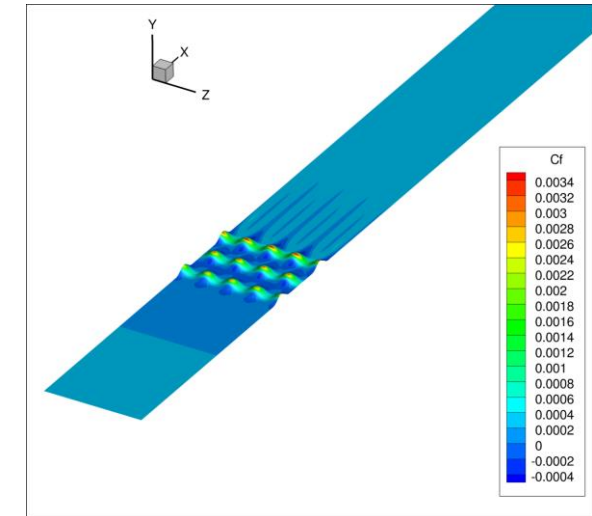
Моделируется течение на рампе сжатия с углом $5,5^\circ$. Параметры течения соответствуют эксперименту [1] для передней части аппарата Hyper-X: $M = 5,373$, $Re = 5,67 \cdot 10^6$, $Re_1 = 17,93 \cdot 10^6 \text{ м}^{-1}$, $T_\infty = 74,2 \text{ К}$, $T_w = 300 \text{ К}$.

В ламинарном течении перед рампой сжатия происходит отрыв потока с образованием рециркуляционной зоны.

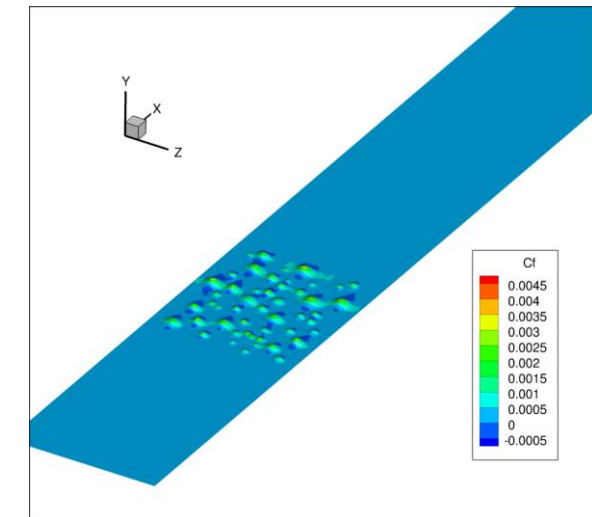
[1] Berry et al., DiFulvio, Kowalkowski. Forced Boundary Layer Transition on X-43 (Hyper-X) in NASA LaRC 20-Inch Mach 6 Air Tunnel. NASA TM-2000-210316, Aug. 2000.



Ламинарное невозмущенное течение на гладкой поверхности



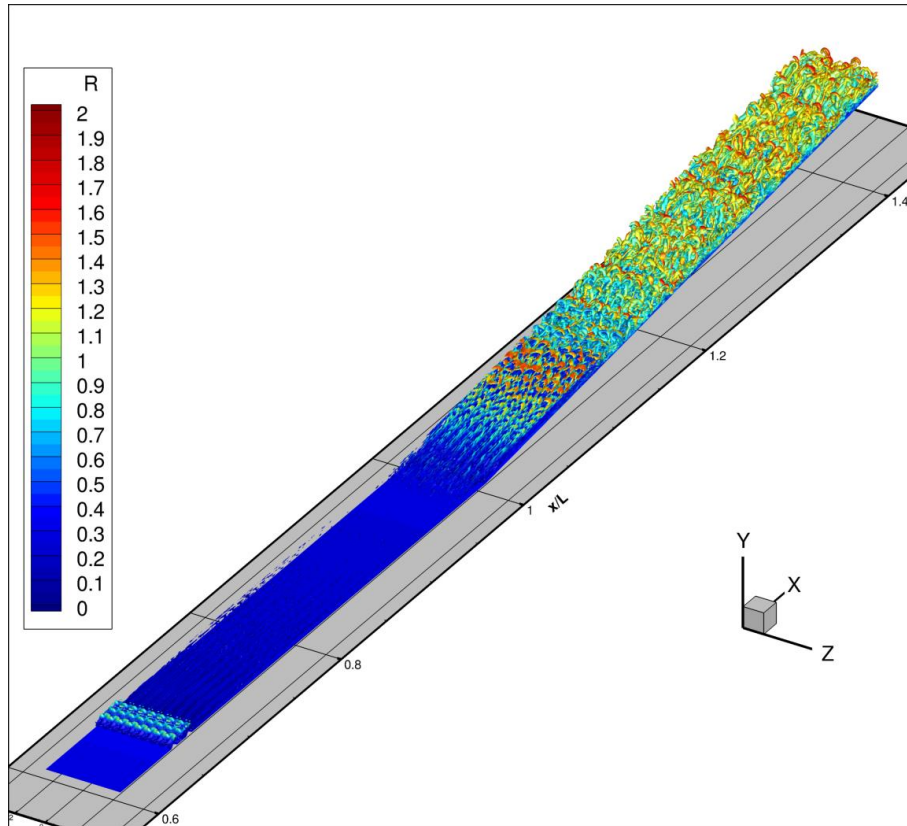
Регулярная периодическая шероховатость. $h = 5\delta$



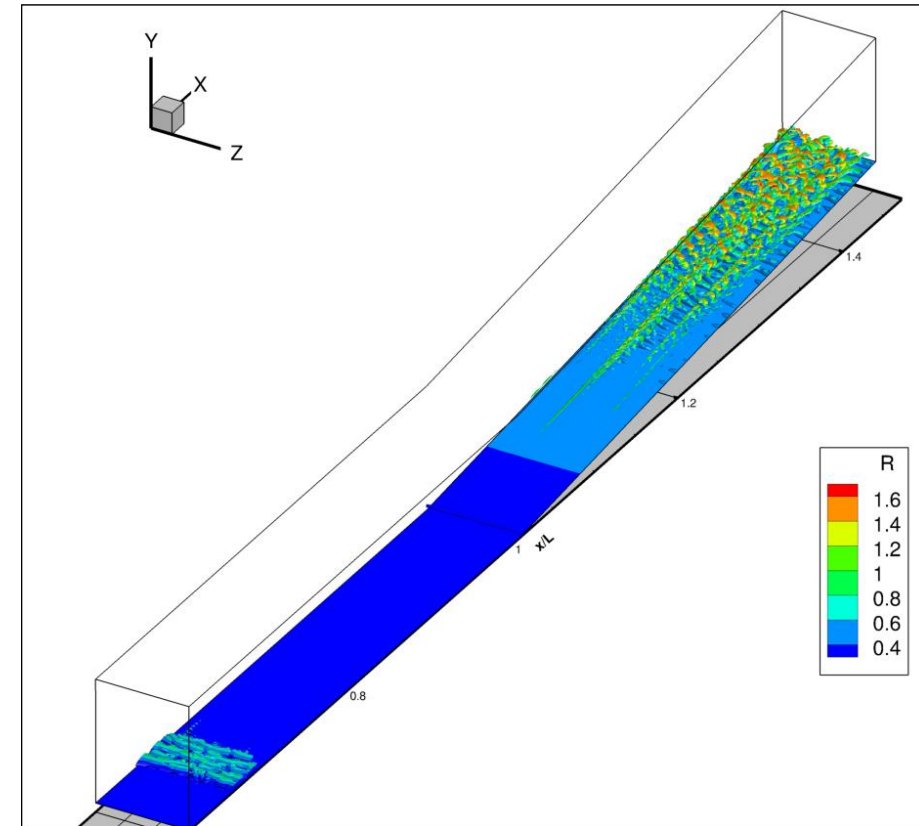
Случайно-распределенная шероховатость

$h_{\max} = 5\delta$

Регулярная шероховатость с максимальным рассмотренным размером $h = 10 \delta$ оказывает значительное возмущающее действие на течение, что приводит к ламинарно-турбулентному переходу на рампе сжатия. При использовании случайной шероховатости с $h_{\max} = 5\delta$ в течении наблюдается начало ламинарно-турбулентного перехода вблизи выходной границы области.

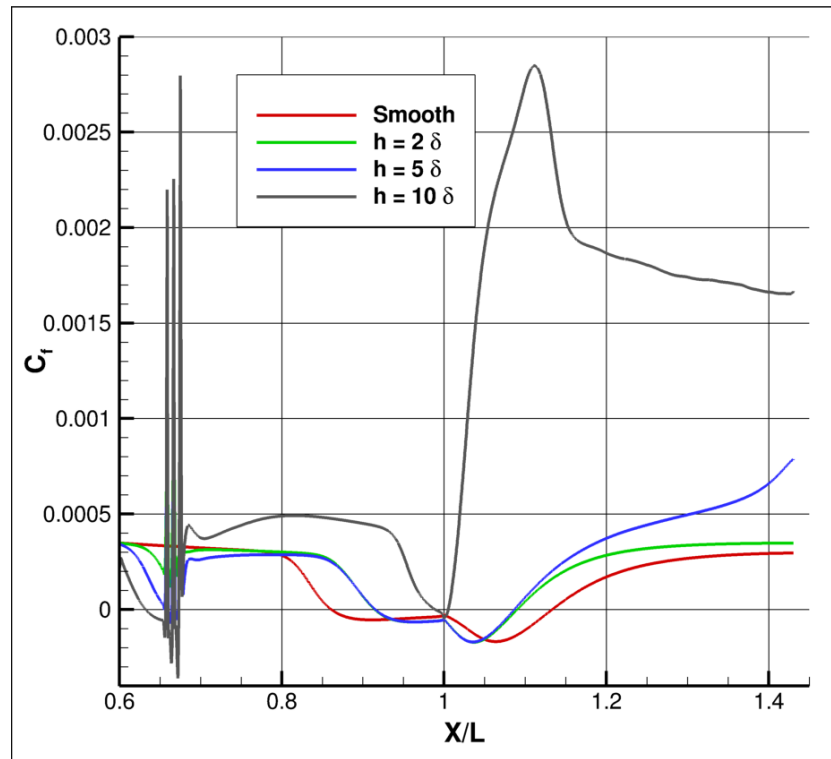


Поверхность Q-критерия и уровни плотности при использовании регулярной шероховатости с размером $h = 10 \delta$

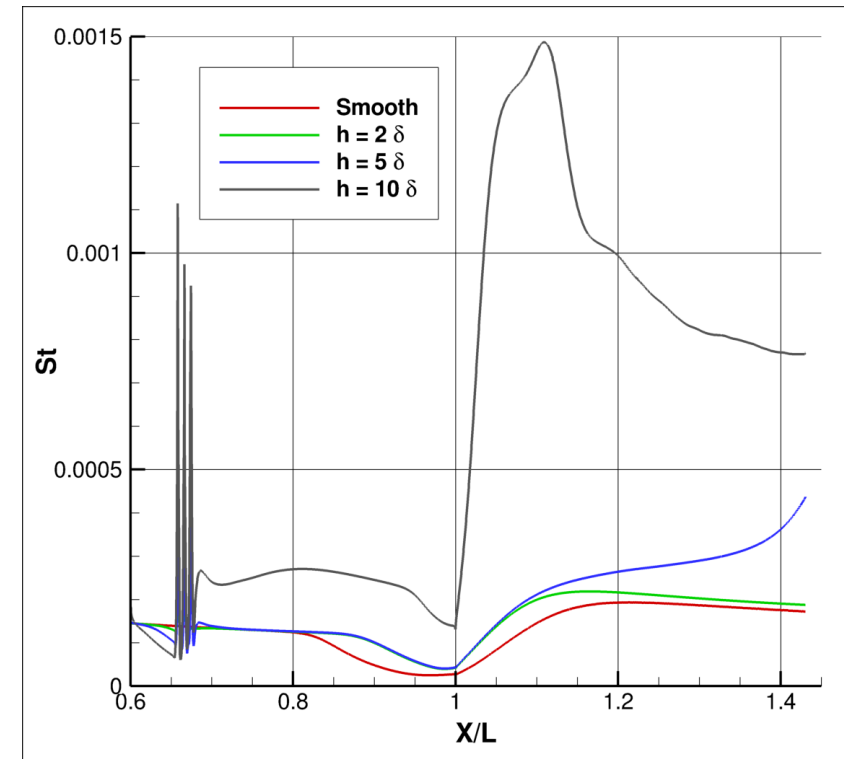


Поверхность Q-критерия и уровни плотности при использовании случайно-распределенной шероховатости с максимальным размером $h = 5\delta$

С помощью прямого численного моделирования получены распределения поверхностного трения и тепловых потоков в переходном пограничном слое на рампе сжатия, которые показывают существенное влияние параметров шероховатости на размер и положение отрывной зоны.



Распределения осредненных по времени и координате z коэффициентов трения при различных параметрах шероховатости h



Распределения осредненных по времени и координате Z чисел Стантона при различных параметрах шероховатости h

Выводы

- С помощью прямого численного моделирования исследуется влияние набегающих возмущений пограничного слоя на динамику взаимодействия ударной волны с пограничным слоем (SWBLI).
- Используются два различных подхода для генерации набегающих возмущений пограничного слоя. В первом подходе трехмерные неустойчивые волны теории линейной устойчивости (LST) накладываются на автоматический профиль пограничного слоя на входной границе.
- Падающая ударная волна порождает неблагоприятный градиент давления и образование зоны отрыва, что приводит к увеличению пульсаций в пограничном слое, их быстрому вхождению в нелинейный режим и, как следствие, ламинарно-турбулентному переходу.
- Положение ламинарно-турбулентного перехода зависит от амплитуды A набегающего возмущения и может существенно смещаться вверх по течению вплоть до зоны SWBLI с увеличением A .
- Во втором подходе возмущения на входной границе не накладываются. Вместо этого на некотором расстоянии от границы на поверхность пластины помещается одиночный элемент шероховатости.
- Вихревые структуры в следе за элементом шероховатости превращаются в интенсивные продольные вихри, взаимодействующие с зоной SWBLI.

Выводы

- Проведено моделирование течения над рампой сжатия с углом $5,5^\circ$. Число Маха потока $M = 5,373$, число Рейнольдса $Re = 5,67 \cdot 10^6$, $Re_1 = 17,93 \cdot 10^6 \text{ м}^{-1}$, температура потока $T_\infty = 74,2 \text{ К}$, температура стенки $T_w = 300 \text{ К}$. На входе возбуждались двумерная ($\chi=0$) волна второй моды и трехмерная ($\chi=\pm 66^\circ$) волна первой моды возмущений линейной устойчивости. При ламинарном течении перед рампой сжатия происходит отрыв потока с образованием рециркуляционной зоны.
- Проведено исследование влияния возмущенного состояния на входной границе на возбуждение наиболее опасных неустойчивых возмущений пограничного слоя, их дальнейшую эволюцию и реализацию ламинарно-турбулентного перехода.
- Проведено исследование влияния шероховатости поверхности на характеристики пограничного слоя на рампе сжатия. Рассмотрена регулярная периодическая и случайно-распределенная шероховатости.
- Регулярная шероховатость с максимальным рассмотренным размером $h = 10 \delta$ оказывает значительное возмущающее действие на течение, что приводит к ламинарно-турбулентному переходу на рампе сжатия. При использовании случайной шероховатости с $h_{\max} = 5\delta$ в течении наблюдается начало ламинарно-турбулентного перехода вблизи выходной границы области.

Спасибо за внимание!